

20170243 신재원

$$P(A|B) = \frac{P(A,B)}{P(B)}$$

$$P(B|A) = \frac{P(A,B)}{P(A)}$$

#1. Bayes' Theorem

disease infects only one in a hundred people $\rightarrow \frac{1}{100}$

You tested this disease and test was positive.

99.8% accurate $\rightarrow \frac{99.8}{1000}$

$$P(A|B) = \frac{P(B|A) P(A)}{P(B)}$$

#1-a. positive result ^{given} you have disease

$$\frac{1}{100}$$

#1-b. positive result ^{given} you don't have disease

$$\frac{99}{100}$$

#1-c. positive result.

$$\frac{\frac{1}{100} \cdot \frac{1}{1000}}{\frac{1}{100} \cdot \frac{1}{1000} + \frac{99}{100} \cdot \frac{99.8}{1000}} = \frac{1}{2}$$

#1-d. disease ^{given} the test was positive.

$$\frac{1}{2} \cdot \frac{99.8}{1000} = \frac{449}{1000}$$

20170223 심재운

#2. Corner detection.

$$E(u,v) \approx \begin{bmatrix} u \\ v \end{bmatrix}^T M \begin{bmatrix} u \\ v \end{bmatrix}$$

#2-a.

$$M = \sum_{x,y} w(x,y) \begin{bmatrix} I_x^2(x,y) & I_x(x,y) I_y(x,y) \\ I_x(x,y) I_y(x,y) & I_y^2(x,y) \end{bmatrix}$$

#2-b.

- A patch contains an edge if ①
- A patch contains a corner if ③
- A patch is flat if ④

#2-c.

Corner response score : $R = \det(M) - k \cdot \text{tr}(M) = \lambda_1 \lambda_2 - k \cdot (\lambda_1 + \lambda_2)^2$
(k is constant 0.04~0.06)

20170243

심재원

#3.

#3-a. How interest points are detected in SIFT using Gaussian kernel.

→ Gaussian filtered image를 input 이미지 등으로 부터 구하고 얻어진 Gaussian filtered image들을 이용해 DoG filtered image를 얻게 된다. 이 과정에서 blob score를 계산하고 interest point인 blob을 locally maximum score가 되는 Non maximum suppression을 통해 찾을 수 있다.

#3-b. why SIFT is invariant to scale and rotation.
scale-space search 중에

→ SIFT는 DoG filter를 사용하게 되는데 이는 LoG filter와 $(k-1)$ 배 비례 관계가 있으며, LoG filter는 σ^2 를 곱해줌으로써 Scale에 invariant하게 된다. 따라서 DoG도 Scale에 자연스럽게 invariant하게 되고, rotation을 위한 dominant orientation을 estimate 하기에 invariant 하다.

#3-c.

- False.

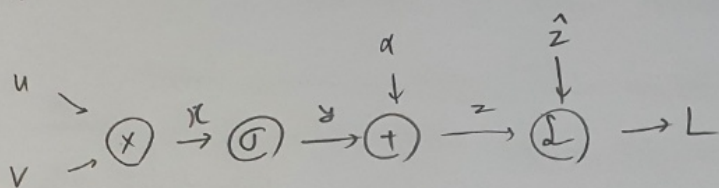
- True.

- True.

- Bag of visual words histograms captures spatial configuration of image.

→ False.

#4.



$$L = L(\sigma(uv) + \alpha, \hat{z}), \text{ where } L(x, y) = \frac{1}{2}(x - y)^2, \sigma(x) = (1 + e^{-x})^{-1}, \frac{d\sigma}{dx} = \sigma(x)(1 - \sigma(x))$$

$$\#4-a. \frac{\partial L}{\partial z} = \frac{1}{2} \cdot 2 \cdot 1 = 1$$

$$\begin{cases} uv = z \\ y = \sigma(x) = (1 + e^{-x})^{-1} \\ y + \alpha = z \\ L(z, \hat{z}) = L = \frac{1}{2}(z - \hat{z})^2 \end{cases}$$

$$\#4-b. \frac{\partial L}{\partial \alpha} = \frac{\partial L}{\partial z} \cdot \frac{\partial z}{\partial \alpha} = 1 \cdot 1 = 1$$

$$\begin{aligned} L &= L(\sigma(x) + \alpha, \hat{z}) \\ uv &= L(y + \alpha, \hat{z}) \end{aligned}$$

$$\#4-c. \frac{\partial L}{\partial y} = \frac{\partial L}{\partial z} \cdot \frac{\partial z}{\partial y} = 1 \cdot 1 = 1$$

$$\#4-d. \frac{\partial L}{\partial x} = \frac{\partial L}{\partial z} \cdot \frac{\partial z}{\partial y} \cdot \frac{\partial y}{\partial x} = 1 \cdot (- (1 + e^{-x})^{-2} \cdot (-e^{-x})) = e^{-x} (1 + e^{-x})^{-2}$$

$$\#4-e. \frac{\partial L}{\partial u} = e^{-x} (1 + e^{-x})^{-2} \cdot \frac{\partial x}{\partial u} = e^{-x} (1 + e^{-x})^{-2} \cdot v$$

$$\#4-f. \frac{\partial L}{\partial v} = e^{-x} (1 + e^{-x})^{-2} \cdot \frac{\partial x}{\partial v} = e^{-x} (1 + e^{-x})^{-2} \cdot u$$

20170243 심재원

5.

5-a which operations in neural networks are accelerated by GPU?

대부분의 Deep Learning 다 병행 일을 처리한다.

특히 연산이 많은 back propagation 등이 GPU를 필요로 한다.

5-b. size of dataset very small & network over fitted. what can you do to alleviate the issue?

① Drop out - 처음 두 FC layer 정도에 0.5의 확률로 뉴런을 0으로 처리할 것이다.

② Weight decay - 이러한 네트워크 parameter 등이 가질 수 있는 값의 범위가 제한됨.

③ Early stopping. - 좋은 성능에서 일찍 training을 멈춘다.

5-c. How gradient can be safely propagated from higher to lower layers?

gradient vanishing 문제를 해결하려면 network를 깊게 전파하여 기울기 소실이

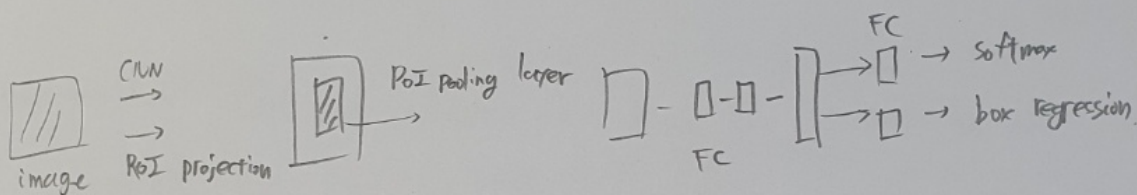
해결될 것이다. 가장 먼저 할건 weight initialization을 진행할 것 같다.

ReLU도 사용하고 Batch normalization도 사용할 것이다.

#6-a.

- ① wrong (no selective search in Faster R-CNN)
- ② wrong (the margin will be largest, that's the goal)
- ③ okay
- ④ wrong (we need more negative samples)

#6-b.



single feature computation & RoI pooling.

objectives : softmax, box regressor

$$L = -\log\left(\frac{\exp(y_i)}{\sum_j \exp(y_j)}\right) \leftarrow \begin{matrix} \text{classification loss} \\ \text{분류의 목적} \end{matrix}, \begin{matrix} \text{regression loss} \\ \text{BB의 좌표 값의 목적} \end{matrix}$$

#6-c. why the transformation parameters predicted for BB refinement has to be invariant to the scale of box proposal, and how achieve it?

$$\rightarrow d(P) = (dx, dy, dw, dh)$$

training에서 자른 ground truth box를 배치시킬 것이다.

그러면 BB의 transformation parameter를 예측하는데 이러한

proposal이 더 ground truth에 잘맞게 근사할다.

20170243 심재원

#7.

#7-a. limit of FCN and how Deconv Net solve

receptive field가 고정된 네트워크이다. 그리고 upsampling 과정이 필요하다. 이러한 한계들은 Convolutional encoder-decoder 인 Deconv Net이 해결했다. 이 구조는 원본 이미지 해상도에서 거의 정확한 모양을 도출할 수 있으며 end-to-end 방식으로 더 나은 결과를 낼 수 있다.

#7-b. main challenge in end-to-end receptive field size ↑

- ① network를 깊게 쌓는다, pooling layer를 많이 쌓게 한다.
- ② unpooling & deconvolution
- ③ Batch normalization
- ④ skip connection

#7-c. difference region pooling layers Fast R-CNN & Mask R-CNN

Mask R-CNN에서는 ROI Align를 적용했다. 그리고 Faster R-CNN에서 ROI에 mask를 적용해 각 픽셀이 객체인지 아닌지 결정했다.

20170243 심재원

#8-a. Sol: 이 데이터들을 kernel method를 사용해 더 고차원의 공간에 mapping 해준다.

Gaussian kernel $\left(\exp\left(-\frac{|x_i - x_j|^2}{\sigma^2}\right) \right)$ 을 사용하면 좋을 것 같다.

#8-b.

자연스러운 linear kernel $(x_i^T x_j)$ 나 polynomial kernel $(x_i^T x_j)^d$ 보다 더
효과적일 수 있을 것 같다.

#8-c.

hidden layer는 데이터를 더 정교하게 나눠주는데 도움이 된다.